

Рассмотрим случай малых деформаций при другом определении эффективного напряжения:

$$(11) \quad s = \sigma_0 / (1 - \omega).$$

В этом случае (3), (11) приводят к следующей зависимости  $\dot{\omega}(t)$ :

$$(12) \quad \dot{s} = \frac{\sigma_0 \dot{\omega}}{(1 - \omega)^2}, \quad \dot{\omega} = \frac{f}{\left[ 1 - \frac{\sigma_0 g'}{(1 - \omega)^2} \right]}.$$

Предельное значение  $\omega^*$  при степенной функции (9) в соответствии с (12) имеет вид

$$(13) \quad \omega^* = 1 - D_2 \sigma_0^{m/(m+1)}, \quad D_2 = (Cm)^{1/(m+1)}.$$

Таким образом, в случае малых деформаций определение эффективного напряжения в форме (10) или (11) приводит к монотонному убыванию  $\omega^*(\sigma_0)$  в форме соответственно логарифмической или степенной зависимости. Из (13) следует, что  $0 < \omega^* < 1$ , т. е. разрушение при ползучести всегда наступает при неполном заполнении поперечного сечения трещинами.

Автор выражает благодарность Т. М. Аверьяновой, Л. И. Грязновой и В. И. Николаеву за помощь при проведении экспериментов.

Поступила 3 XI 1981

#### ЛИТЕРАТУРА

1. Работнов Ю. Н. Ползучесть элементов конструкций. М.: Наука, 1966.
2. Мякотин Е. А., Шестериков С. А. Установка на девять трубчатых образцов для исследования длительной прочности металлов в сложном напряженном состоянии. — В сб.: Деформирование и разрушение твердых тел. М.: Изд-во МГУ, 1977.
3. Broberg Н. A new criterion for brittle creep rupture. — Transactions of ASME, 1974, vol. E41, N 3.
4. Boström P. O., Broberg Н., Bräthe L., Chrzanowski M. On failure conditions in viscoelastic media and structures. — In: Int. Symposium on Mechanics of Viscoelastic Media and Bodies. Gothenburg. Berlin: Springer-Verlag, 1975.

УДК 539.374

### ВАРИАНТ ТЕОРИИ ПЛАСТИЧЕСКОГО ТЕЧЕНИЯ, ОСНОВАННЫЙ НА СДВИГОВОМ МЕХАНИЗМЕ ДЕФОРМИРОВАНИЯ

А. М. Коврижных

(Новосибирск)

Определяющие соотношения теорий типа течения существенным образом зависят от выбора двух функций — функции нагружения и функции упрочнения, детальная конструкция которых не выявлена. Допускаемая свобода задания этих функций позволяет предполагать довольно разнообразные формы поверхности нагружения как регулярного, так и сингулярного типа.

Имеющиеся в настоящее время результаты экспериментальных исследований не находят достаточно полного отражения с позиции классических представлений в теории упрочняющегося пластического тела. Например, нагружения с постоянной интенсивностью напряжений приводят к значительному росту пластической деформации [1], что свидетельствует о несостоятельности классического закона течения, основанного на изотропно расширяющейся поверхности текучести Мизеса.

В данной работе предлагается экспериментально обоснованный вариант теории пластического течения, в котором за основу построения определяющих соотношений принимается макроскопический сдвиговой механизм деформирования, являющийся частным случаем механической модели материала [2] и опирающийся на экспериментальные наблюдения за линиями Людерса. Такой подход не использует для построения определяющих соотношений понятие поверхности нагружения, но допускает интерпретацию в этой терминологии. В стадии упрочнения поверхность нагружения сингулярна и составлена из кусочно-гладких участков поверхностей постоянства

главных касательных напряжений. Появление пластической деформации связывается с условием пластичности Треска — Сен-Венана, а упрочнение развивается следующим образом: в пространстве напряжений точка нагружения перемещает кусочно-гладкие участки поверхностей постоянства главных касательных напряжений самопараллельно, удаляя их от начала координат.

Следует отметить, что предлагаемый вариант теории течения можно получить формально из предположения об ортотропии пластического состояния в форме [3] при определенном выборе коэффициентов ортотропии [4].

1. Пусть в процессе нагружения материала достигнуто однородное напряженно-деформированное состояние. Обозначим главные нормальные напряжения в момент возникновения пластической деформации  $\sigma_i$  ( $i = 1, 2, 3$ ), причем условимся нумеровать главные оси так, что

$$(1.1) \quad \sigma_1 \geq \sigma_2 \geq \sigma_3.$$

Введем обозначения для главных касательных напряжений:

$$T = (\sigma_1 - \sigma_3)/2, \quad T_{12} = (\sigma_1 - \sigma_2)/2, \quad T_{23} = (\sigma_2 - \sigma_3)/2,$$

тогда из (1.1) следует, что  $T > 0$ ,  $T_{12} \geq 0$ ,  $T_{23} \geq 0$ .

В дальнейшем деформации считаются малыми и представляются в виде суммы упругой и пластической составляющих. Пластические составляющие главных удлинений обозначим  $e_i$  ( $i = 1, 2, 3$ ), а главный пластический сдвиг  $\gamma = e_1 - e_3$ .

Примем также условие пластической несжимаемости и закон Гука между приращением упругой составляющей деформации и приращением напряжения. Считается, что упругие свойства материала не меняются в процессе пластического деформирования.

Пусть  $\tau_s$  — предел текучести при чистом кручении, когда  $2T_{12} = 2T_{23} = T$ .

Случай  $T > \tau_s$ ,  $T_{12}$  и  $T_{23} < \tau_s$  будем называть состоянием неполной пластичности, а когда  $T$  и  $T_{12} > \tau_s$ ,  $T_{23} < \tau_s$  (либо  $T$  и  $T_{23} > \tau_s$ ,  $T_{12} < \tau_s$ ) — состоянием полной пластичности.

*Механическая модель материала.* Будем считать, что в пластическом состоянии материал ослаблен лишь в направлениях систем скольжения (направления действия главных касательных напряжений, на которых превышен предел  $\tau_s$ ), а приращение пластической деформации представляет собой последовательность простых сдвигов, происходящих под действием роста собственных касательных напряжений в этих направлениях. Зависимость главного пластического сдвига  $\gamma_0$  от величины максимального касательного напряжения при кручении (фиг. 1) принимается в качестве паспортной характеристики материала на каждой из систем скольжения.

Введем в рассмотрение пластический модуль упрочнения  $G_0(T) = \Delta T / \Delta \gamma_0(T)$ .

Для состояния неполной пластичности величина простого сдвига в направлении  $T$  определяется зависимостью  $\Delta \gamma^v = \Delta T / G_0$ , где  $\Delta$  означает изменение соответствующей величины.

В главных осях напряжений получим соотношения

$$(1.2) \quad \Delta e_1 = -\Delta e_3 = \Delta T / 2G_0, \quad \Delta e_2 = 0.$$

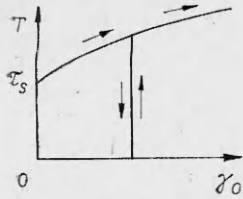
Соотношения (1.2) представляют собой ассоциированный закон течения для условия  $T = \text{const}$ , так как  $\Delta e_i = h(T)(\partial T / \partial \sigma_i) \Delta T$  ( $i = 1, 2, 3$ ), где  $h(T) = 1/G_0(T)$ .

Если главные оси напряжений неподвижны (квазипростое нагружение [2]), то (1.2) можно проинтегрировать:

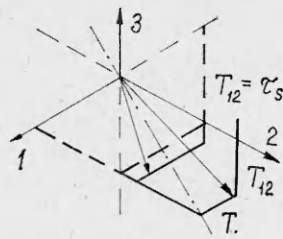
$$e_1 = -e_3 = (1/2)\gamma_0(T), \quad e_2 = 0.$$

В состоянии полной пластичности, когда  $T$  и  $T_{12} > \tau_s$ ,  $T_{23} < \tau_s$ , на основе механической модели материала можно записать

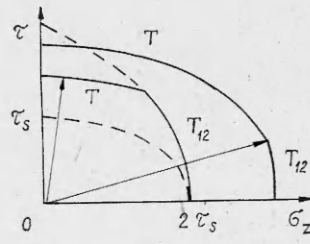
$$\Delta \gamma^v = \Delta T / G_0, \quad \Delta \gamma_{12}^v = \Delta T_{12} / G_1,$$



Ф и г. 1



Ф и г. 2



Ф и г. 3

где  $\Delta\gamma^v$ ,  $\Delta\gamma_{12}^v$  — простые сдвиги, происходящие в направлениях  $T$  и  $T_{12}$ , а  $G_1 = G_0(T_{12})$ .

Переходя к главным осям тензора напряжений, получим соотношения

$$(1.3) \quad \Delta e_1 = \Delta T/2G_0 + \Delta T_{12}/2G_1, \quad \Delta e_2 = -\Delta T_{12}/2G_1, \quad \Delta e_3 = -\Delta T/2G_0,$$

которые представляются также в форме закона течения [5]:

$$\Delta e_i = h(T)(\partial T/\partial \sigma_i)\Delta T + h_1(T_{12})(\partial T_{12}/\partial \sigma_i)\Delta T_{12} \quad (i = 1, 2, 3),$$

где  $h_1(T_{12}) = 1/G_0(T_{12})$ .

Если в этом законе течения, предложенном для сингулярных поверхностей нагружения, остается полная неопределенность в выборе поверхности нагружения и функции упрочнения, то соотношения (1.2), (1.3) (механическая модель материала) устраняют эту неопределенность.

Для квазипростого нагружения при  $\Delta T, \Delta T_{12} \geq 0$  соотношения (1.3) можно проинтегрировать:

$$e_1 = (1/2)\gamma_0(T) + (1/2)\gamma_0(T_{12}), \quad e_2 = -(1/2)\gamma_0(T_{12}), \quad e_3 = -(1/2)\gamma_0(T).$$

В качестве примера рассмотрим одноосное растяжение  $\sigma_1 > 0$ ,  $\sigma_2 = \sigma_3 = 0$ ,  $T = T_{12}$ ,  $T_{23} = 0$ , тогда  $e_1 = \gamma_0(T)$ ,  $e_2 = e_3 = -(1/2)\gamma_0(T)$ .

Обратимся теперь к традиционной девиаторной плоскости. Проекции главных направлений на эту плоскость обозначим 1, 2, 3 (фиг. 2).

На основании соотношений (1.2), (1.3) и введенной паспортной характеристики материала (см. фиг. 1) заключаем, что на девиаторной плоскости упрочнение развивается следующим образом (фиг. 2): точка нагружения перемещает кусочно-линейные участки поверхности Треска самопараллельно, удаляя их от начала координат. Этот факт можно получить из схемы упрочнения [6], примененной к условию пластичности Треска — Сен-Венана.

Если тонкостенный цилиндрический образец подвергался на начальной стадии нагружению путем изменения внутреннего давления и осевой силы, то сложное нагружение может быть осуществлено добавлением крутящего момента. Если же в начале происходит нагружение крутящим моментом, то последующее сложное нагружение реализуется добавлением осевой силы и изменением внутреннего давления.

Для простоты рассмотрим сложное нагружение, которое реализуется в опытах на тонкостенных трубчатых образцах при отсутствии внутреннего давления. Тогда в каждой точке материала напряженное состояние характеризуется тензором

$$\begin{pmatrix} \sigma_z & 0 & \tau_{z\theta} \\ 0 & 0 & 0 \\ \tau_{z\theta} & 0 & 0 \end{pmatrix}$$

в неподвижной системе координат  $z, r, \theta$ , где ось  $z$  направлена по образующей,  $r$  имеет радиальное направление, а  $\theta$  — тангенциальное.

Главные касательные напряжения принимают значения

$$T = (1/2)\sigma_z \cos 2\varphi + \tau \sin 2\varphi, \quad T_{12} = (1/4)\sigma_z + (1/2)T, \quad T_{23} = -(1/4)\sigma_z + (1/2)T,$$

а их приращения

$$\Delta T = (1/2)\Delta\sigma_z \cos 2\varphi + \Delta\tau \sin 2\varphi, \quad \Delta T_{12} = (1/4)\Delta\sigma_z + (1/2)\Delta T, \quad \Delta T_{23} = \\ = -(1/4)\Delta\sigma_z + (1/2)\Delta T,$$

где  $\tau = \tau_{z\theta}$ ;  $\operatorname{tg} 2\varphi = 2\tau/\sigma_z$ ;  $\varphi$  — угол между направлениями осей  $z$  и  $x_1$ .

Будем считать, что при сложном нагружении справедливы допущения механической модели материала. В этом случае направления систем скольжения будут поворачиваться в процессе нагружения.

Для состояния неполной пластичности в направлении  $T$  по-прежнему справедливы соотношения (1.2), которые в неподвижной системе координат принимают вид

$$(1.4) \quad \Delta e_z = -\Delta e_\theta = (\Delta T/2G_0) \cos 2\varphi, \quad \Delta\gamma_{z\theta}^p = (\Delta T/G_0) \sin 2\varphi, \quad \Delta e_r = 0$$

и могут быть записаны в форме закона течения

$$\Delta e_z = -\Delta e_\theta = h(T) (\partial T/\partial\sigma_z) \Delta T, \quad \Delta\gamma_{z\theta}^p = h(T) (\partial T/\partial\tau) \Delta T, \quad \Delta e_r = 0$$

при  $h(T) = 1/G_0(T)$ .

Полная разгрузка наступает при  $\Delta T \leq 0$ , а нагружение с  $\Delta T = 0$  является нейтральным и не приводит к росту пластической деформации.

В состоянии полной пластичности при  $T$  и  $T_{12} > \tau_s$ ,  $T_{23} < \tau_s$  справедливы соотношения (1.3), которые в системе координат  $z, r, \theta$  принимают вид

$$(1.5) \quad \Delta e_z = (\Delta T/2G_0) \cos 2\varphi + (\Delta T_{12}/4G_1)(1 + \cos 2\varphi), \\ \Delta e_\theta = -(\Delta T/2G_0) \cos 2\varphi + (\Delta T_{12}/4G_1)(1 - \cos 2\varphi), \\ \Delta\gamma_{z\theta}^p = (\Delta T/G_0 + \Delta T_{12}/2G_1) \sin 2\varphi, \quad \Delta e_r = -\Delta e_z - \Delta e_\theta.$$

Для плоского напряженного состояния  $\sigma_r = \tau_{rz} = \tau_{r\theta} = 0$ , а главные касательные напряжения  $T$  и  $T_{12}$  записываются в виде

$$T = (1/2) \sqrt{(\sigma_z - \sigma_\theta)^2 + 4\tau^2}, \quad T_{12} = (\sigma_z + \sigma_\theta)/4 + (1/2)T,$$

тогда соотношения (1.5) при  $\sigma_\theta = 0$  представимы в форме закона течения с сингулярной в общем случае поверхностью нагружения

$$\Delta e_z = h(T) \frac{\partial T}{\partial\sigma_z} \Delta T + h_1(T_{12}) \frac{\partial T_{12}}{\partial\sigma_z} \Delta T_{12}, \\ \Delta e_\theta = h(T) \frac{\partial T}{\partial\sigma_\theta} \Delta T + h_1(T_{12}) \frac{\partial T_{12}}{\partial\sigma_\theta} \Delta T_{12}, \\ \Delta\gamma_{z\theta}^p = h(T) \frac{\partial T}{\partial\tau} \Delta T + h_1(T_{12}) \frac{\partial T_{12}}{\partial\tau} \Delta T_{12},$$

где  $h_1(T_{12}) = 1/G_0(T_{12})$ .

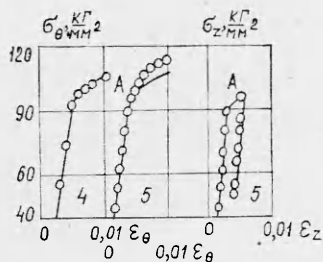
При частичной разгрузке в направлении  $T_{12}$ , т. е.  $\Delta T_{12} \leq 0$ ,  $\Delta T > 0$ , соотношения (1.5) непрерывно переходят в (1.4). Полная разгрузка наступает при  $\Delta T, \Delta T_{12} \leq 0$ , а особенность в точке нагружения образована пересечением поверхностей  $T$  и  $T_{12} = \text{const}$ .

В плоскости напряжений  $\sigma_z, \tau$  условие  $T = k_1$  представляет эллипс. Треска  $(\sigma_z/2k_1)^2 + (\tau/k_1)^2 = 1$ , а условие  $T_{12} = k_2$  — параболу  $2k_2\sigma_z + \tau^2 = 4k_2^2$ , где  $k_1$  и  $k_2$  — произвольные постоянные.

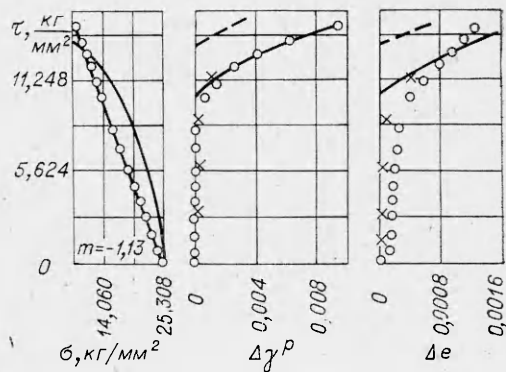
Кривые, соответствующие  $k_1 = k_2 = \tau_s$ , изображены на фиг. 3 штриховой линией.

На основе механической модели материала заключаем, что в рассматриваемой плоскости упрочнение развивается следующим образом (фиг. 3): точка нагружения перемещает кусочно-гладкие участки кривых постоянства главных касательных напряжений  $T$  и  $T_{12}$  самопараллельно, удаляя их от начала координат.

Для предлагаемого закона течения нагружения с постоянным значением максимального касательного напряжения являются нейтральными в состоянии неполной пластичности, однако экспериментальные исследования [7] показали, что при таких нагружениях происходит рост пласт-



Ф и г. 4



Ф и г. 5

тической деформации. Этот факт удается описать, оставаясь в рамках концепции главных касательных напряжений [8], при этом за основу принимается механическая модель материала [2] и предположение об ортотропии пластического состояния в форме [3].

2. Приведем сравнение результатов расчета по предлагаемым соотношениям с данными опытов [1, 9].

В [1] приводятся данные испытаний тонких трубчатых образцов из стали 30ХН3А, которые нагружались внутренним давлением и растягивающей силой. Для некоторых образцов во время испытания отношение  $k = \sigma_z/\sigma_\theta$  оставалось постоянным. Характерной особенностью этих опытов было то, что для большинства из них на определенных этапах нагружения производились различного рода частичные разгрузки, когда в одних направлениях происходит рост напряжений, а в других — разгрузка.

Модуль упрочнения  $G_0(T)$  определялся с кривой  $\sigma_\theta(\epsilon_\theta)$  для образца 4, который нагружался чистым кручением при  $k = 0,5$  (фиг. 4). На фиг. 4 приводятся также данные испытания образца 5 (светлые кружки). До точки А этот образец нагружался при  $k = 1$ , а затем интенсивность напряжений поддерживалась постоянной так, что  $\Delta\sigma_\theta > 0$ ,  $\Delta\sigma_z < 0$ . Результаты расчета для второго этапа нагружения нанесены сплошной линией.

В [9] представлены данные испытаний тонкостенных цилиндров из алюминиевого сплава 14S-T4 в условиях сложного нагружения. Осевым сжатием образцы выводились в пластическое состояние. Сложное нагружение осуществлялось добавлением крутящего момента  $\tau_{z\theta} = \tau$ .

В момент приложения докрутки сжимающее усилие изменялось различным образом так, что отношение  $d\sigma_z/d\tau = \text{const}$  для каждого из образцов, но от образца к образцу оно изменялось существенно.

Данные опытов [9] показали, что в начальный момент докрутки материал деформируется упруго в плоскости действия  $\tau$  (начальный модуль сдвига равен упругому). Этот факт находится в согласии с допущениями механической модели материала.

Главные касательные напряжения  $T$ ,  $T_{23}$  в рассматриваемом случае сложного нагружения принимают вид

$$T = (1/2)\sigma \cos 2\varphi + \tau \sin 2\varphi, \quad T_{23} = (1/4)\sigma + (1/2)\tau,$$

а их приращения

$$\Delta T = (1/2)\Delta\sigma \cos 2\varphi + \Delta\tau \sin 2\varphi, \quad \Delta T_{23} = (1/4)\Delta\sigma + (1/2)\Delta\tau,$$

где  $\sigma = -\sigma_z > 0$ ;  $\text{tg } 2\varphi = 2\tau/\sigma$ ;  $\varphi$  — угол между направлениями осей  $\theta$  и  $x_1$ .

В начальный момент сложного нагружения реализуется состояние полной пластичности в направлениях  $T$  и  $T_{23}$ , так как  $T = T_{23}$ ,  $T_{12} = 0$ .

Определяющие соотношения для различных видов догрузки из рассматриваемого состояния имеют вид

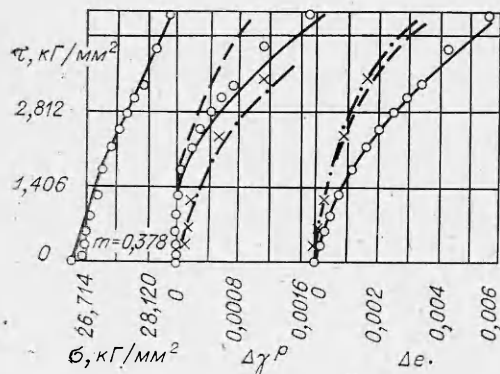
$$(2.1) \quad \Delta e = \frac{1}{2} \frac{\Delta T}{G_0} \cos 2\varphi + \frac{1}{4} \frac{\Delta T_{23}}{G_2} (1 + \cos 2\varphi),$$

$$\Delta \gamma^p = \left( \frac{\Delta T}{G_0} + \frac{\Delta T_{23}}{2G_2} \right) \sin 2\varphi,$$

где  $\Delta e = -\Delta \varepsilon_z^p$ ,  $\Delta \gamma^p = \Delta \gamma_{z0}^p$ ,  $G_2 = G_0(T_{23})$ .

Упругие константы алюминиевого сплава 14S-T4 следующие:  $E = 7381,5$  кг/мм<sup>2</sup>,  $\mu = 2776,85$  кг/мм<sup>2</sup>. Предел текучести при одноосном сжатии  $\sigma_s = 17,575$  кг/мм<sup>2</sup>.

Результаты обработки кривых  $\sigma_z(\varepsilon_z)$  для каждого из образцов показали, что цилиндры, нагружавшиеся при  $d\sigma/d\varepsilon = m = -1,13$  и  $m = 0,378$ , имели приблизительно одинаковый модуль  $G_0(T)$  на участке упрочнения. Для этих образцов пластический модуль упрочнения вы-



Ф и г. 6

бирался с кривой  $\gamma^p(\tau)$  по данным эксперимента с  $m = -1,13$ .

Теоретические кривые строились для участков сложного нагружения по формулам (2.1) и изображены на фиг. 5, 6 сплошной линией. Данные опытов обозначены светлыми кружками. Здесь же указаны программы нагружений  $\sigma(\tau)$  и результаты расчетов по другим теориям. Расчетные зависимости по деформационной теории Генки — Надаи — Ильюшина обозначены штрихпунктирными линиями, по теории течения с изотропно

но расширяющейся поверхностью Мизеса — штриховыми, по теории скольжения Батдорфа — Будянского — крестиками.

Автор выражает благодарность Е. И. Шемякину и В. М. Жигалкину за полезные обсуждения в процессе выполнения данной работы.

Поступила 29 X 1981

#### ЛИТЕРАТУРА

1. Жуков А. М. О пластических деформациях изотропного металла при сложном нагружении. — Изв. АН СССР. ОТИ, 1956, № 12.
2. Христианович С. А. Деформация упрочняющегося пластического материала. — МТТ, 1974, № 2.
3. Шемякин Е. И. Анизотропия пластического состояния. — В сб.: Численные методы механики сплошной среды. Новосибирск, 1973, т. 4, № 4.
4. Коврижных А. М. Об одном варианте описания состояний неполной и полной пластичности. — В сб.: Динамика сплошной среды. Вып. 34. Новосибирск: изд. Ин-та гидродинамики СО АН СССР, 1978.
5. Koiter W. T. Stress-strain relations uniqueness and variational theorems for elastic-plastic materials with a singular yield surface. — Quart. Appl. Math., 1953, N 11. Рус. пер. Механика, 1960, № 2.
6. Sanders J. L., Jr. Plastic stress-strain relations based on linear loading functions. — In: Proc. 2nd US Nat. Congr. Appl. Mech. Ann Arbor, 1954. Рус. пер. Механика, 1956, № 3.
7. Жигалкин В. М., Адигамов Н. С., Коврижных А. М. Исследование зависимостей между напряжениями и деформациями в теории пластичности анизотропно упрочняющейся среды. — В кн.: Измерение напряжений в массиве горных пород. Материалы IV Всесоюз. сем. Ч.1. Новосибирск: изд. Ин-та горного дела СО АН СССР, 1974.
8. Коврижных А. М. Учет разнопрочности материала на сдвиг за пределом упругости. — ФТПРПИ, 1978, № 6.
9. Budiansky B., Dow N. F., Peters R. W., Shepherd R. P. Experimental studies of polyaial stress-strain laws of plasticity. — In: Proc. 1st US Nat. Congr. Appl. Mech. Chicago, 1951.